

## MİTRAL DARLIĞINDA RENKLİ DOPPLER AKİM İLE KAPAK ALANI TAYİNİ

Dr. Ömer KOZAN\*, Dr. Oktay ERGENE\*, Dr. İsmet DİNDAR\*

Dr. Nuri ÇAĞLAR\*, Dr. Ali BAYRAM\*\*

\* Koşuyolu Kalp ve Araştırma Hastanesi Kardiyoloji Kliniği

\*\* Selçuk Üniversitesi Tıp Fakültesi Kardiyoloji Anabilim Dalı

### ÖZET

Koşuyolu Kalp ve Araştırma Hastanesi'nde Aralık 1991-Ağustos 1992 tarihleri arasında mitral darlığı nedeniyle kardiak kateterizasyon uygulanan 20 olguda renkli doppler akım ile mitral kapak alanı hesaplandı. Klinik çalışmada renkli doppler akım ölçümelerinde mitral kapak orifisi eliptik kabul edildi ve  $\pi/3 (axb)$  formülü kullanılarak kapak alanı hesaplandı. Kısa eksen (a) apikal uzun eksen görüntüden mitral kapak orifisi renkli akım jeti genişliği, uzun eksen (b) aynı yerden transdüsörin 90° saat yönünde döndürülmesiyle elde edilen genişlik alındı.

Ayrıca olgularda two-dimentional ekokardiografi ve pressure half-time metodıyla mitral kapak alanı ölçümleri yapıldı. Bu ölçümler kateterizasyon ile hesaplanan mitral kapak alanı ölçümleriyle karşılaştırıldı.

Tüm olgularda renkli doppler akım ile mitral kapak alanı ölçüldü. Kateter ve renkli doppler akım ile ölçülen mitral kapak alanları arasında önemli korelasyon vardı ( $r=0.92$ ). Two-dimentional ekokardiografi ve kateter ile ölçülen mitral kapak alanları arasında iyi bir korelasyon vardı ( $r=0.81$ ). Buna rağmen pressure-half-time metodıyla ve kateterizasyon ile ölçülen mitral kapak alanları arasında korelasyon zayıftı ( $r=0.70$ ). Bu metodla aort yetmezliği olan mitral darlığı olgularında mitral kapak alanının olduğundan büyük ölçüldüğü görüldü.

Bu bulgular mitral darlığı olgularında renkli doppler akım tekniği ile kapak alanının doğru olarak ölçülebileceğini göstermektedir.

Anahtar Kelimeler: Renkli doppler akım, mitral darlığı

### SUMMARY

*Measurements of Mitral Valve Area with Color Doppler Flow in Mitral Stenosis*

Doppler color flow assessments were performed in 20 patients with mitral stenosis undergoing cardiac catheterization in Koşuyolu Heart and Research Hospital between December 1991-August 1992. In the clinical doppler study, mitral valve orifice was assumed to be elliptic and mitral valve area was calculated from equation  $\pi/3 (axb)$ . Short diameter (a) = Color jet width at the mitral valve orifice in the apical long-axis view, long diameter (b) = the width in the 90° clockwise rotated view. Mitral valve area was also determined by two-dimentional echocardiography and pressure half-time method, and the results for these methods were compared with those obtained at cardiac catheterization.

By Doppler color flow imaging, mitral valve area could be determined in all patients and there was a significant correlation between the doppler jet and catheterization estimates of mitral valve area ( $r=0.92$ ). Valve area determined by two-dimentional echocardiography was correlated well with catheterization measurement ( $r=0.81$ ).

In addition there was a fair correlation between the valve area determined by the pressure half-time method and catheterization ( $r=0.70$ ).

These findings suggest that Doppler color flow imaging can provide an accurate estimate of mitral valve area.

**Key Words:** Doppler color flow, mitral stenosis

## GİRİŞ

Mitral darlığının değerlendirilmesinde mitral kapak alanı tayini klinik öneme sahiptir. Kalp kateterizasyonu ile kapak alanı tayini referans metod olarak kabul edilir (1,2). Fakat invasiv bir yöntemdir ve tekrarlayan kontrollerde uygulanması zordur. Bu nedenle mitral darlığı olgularında mitral kapak alanı tayini için invaziv olmayan güvenilir metodlar gereklidir.

Bu amaçla Two-Dimensional ekokardiyografi en sık kullanılan metoddur(3,4). Kalsifik ve fazla deformé kapaklarda bu metodla mitral kapak alanı tayini uygun olmayabilir. Ayrıca bu metod bir takım teknik zorluklar nedeniyle uygulanamayabilir.

Pressure half time metodu Hatle ve arkadaşları tarafından uygulanınca yaygın bir kabul gördü(5,6). Fakat çeşitli yaynlarda aort yetmezliği ve sol ventrikül fonksiyon bozukluğu olan mitral darlıklı olgularda mitral kapak alanının doğru olarak tayin edilemediği bildirilmektedir (7,8).

Araştırmalar renkli doppler akımı ile darlık yapan lezyonun ağırlığı ve defektin genişliğinin testinin yapılabileceğini göstermiştir (9-13) çalışmamızda kateterizasyon verilerini referans olarak pressure half time, two dimensional ekokardiografi ve renkli doppler akım ile hesaplanan mitral kapak alanlarını karşılaştırdık.

## MATERIAL VE METOD

Kliniğimizde Aralık 1991-Ağustos 1992 tarihleri arasında mitral darlığı olan 7'si kadın 13'ü erkek 20 hastada kalp kateterizasyonu, pressure half time, two dimensional ekokardiyografi ve renkli doppler akım ile mitral kapak alanı hesaplandı. Ortalama yaş  $33 \pm 5$  (20-41) idi. Olguların 8'inde 2° aort yetmezliği vardı (Normal sinus ritiminde olan aort yetmezliği olguları çalışmaya alındı). Olguların 6'sında atrial fibrilasyon vardı. 14 olgu normal sinyal ritimindeydi. Olguların hiç birinde mitral yetmezliği yoktu.

### Renkli doppler akım tekniği:

Ölçümler aynı Ekokardiyografi cihazı (Hawlett-Packard Sonos 1000) kullanılmak sureti ile 3 kişi tarafından ayrı ayrı yapılarak ortalaması alın-

mıştır. Parasternal kısa eksen görüntüden mitral kapak görüntüsü elde edildi. Transduser apikal bölgeye kaydırılarak apikal uzun eksen görüntü bulundu. Bu pozisyonda erken diastolde mitral kapak orifisi renkli akım genişliği ölçüldü. Bu ölçüm elips şeklindeki mitral kapağın kısa (a) ekseni olarak alındı. Transduserin aynı noktadan  $90^\circ$  clockwise rotasyonuyla mitral darlık orifisi renkli akım genişliği ölçülerek, uzun eksen (b) ölçümü olarak alındı. Mitral kapak alanı elips alan formülü olan ( $\frac{II}{3} \times b^2$ ) kullanılarak hesaplandı (Şekil 1, Resim 1 ve 2). Ölçümler en az 5 vurunun ortalaması alınarak bulundu.

### Two-dimensional ekokardiografi:

Mitral kapağın parasternal kısa eksen two-dimensional ekokardiografik görüntüsü elde edildi. Erken diastolde mitral kapağın en geniş açıklığı planimetrik olarak ölçüldü (3,14) ve 5 vurunun ortalaması alındı. Her ölçüm üç kişi tarafından ayrı ayrı yapılarak tekrar ortalaması alındı.

### Pressure half time metod:

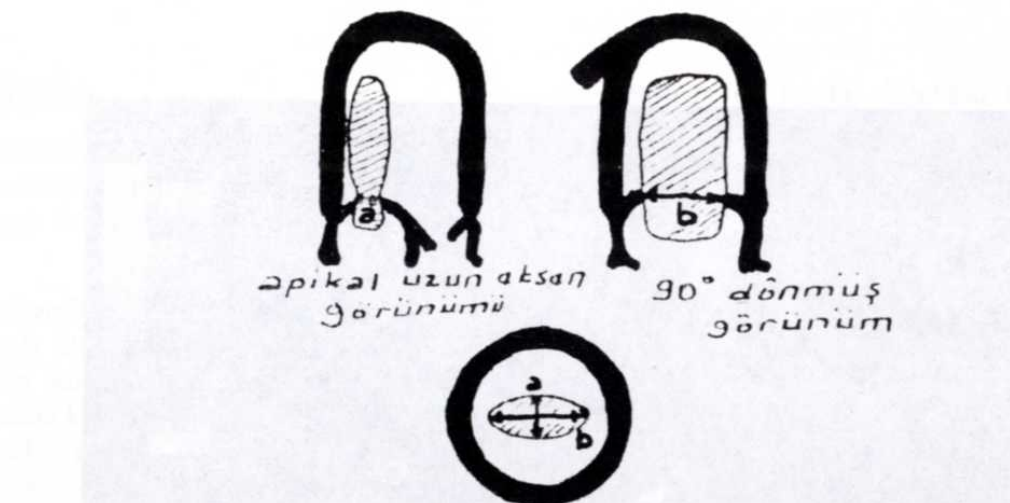
Mitral kapak alanı hesaplanması için continuous wave doppler kullanıldı. Transduser kalp apeksine yerleştirilerek, mitral akım maksimal velosite değişiklikleri 50 mm/sn hızla seyreden kağıda kaydedildi. Pressure half-time hesaplandı ve  $220/\text{pressure half-time}$  formülü ile mitral kapak alanı bulundu(5,6). Beş vuruda hesaplanan mitral kapak alanlarının ortalaması alındı. Atrial fibrilasyon olan olgularda mitral kapak alanı hesaplanmadı.

### Kalp Kateterizasyonu:

7F Swan-Ganz termodilüsyon kateteri kullanılarak wedge basinci ve kardiac out put bakıldı. Olgularımızda trikuspit yetmezliği olmadığı için termodilüsyon yöntemi kullanıldı. Femoral arter yoluyla 7F pigtail kateter kullanılarak sol ventrikül basinci bakıldı. Ortalama diastolik transmитral basinc gradienti hesaplandı. Gorlin formülü kullanılarak mitral kapak alanı hesaplandı(1,2).

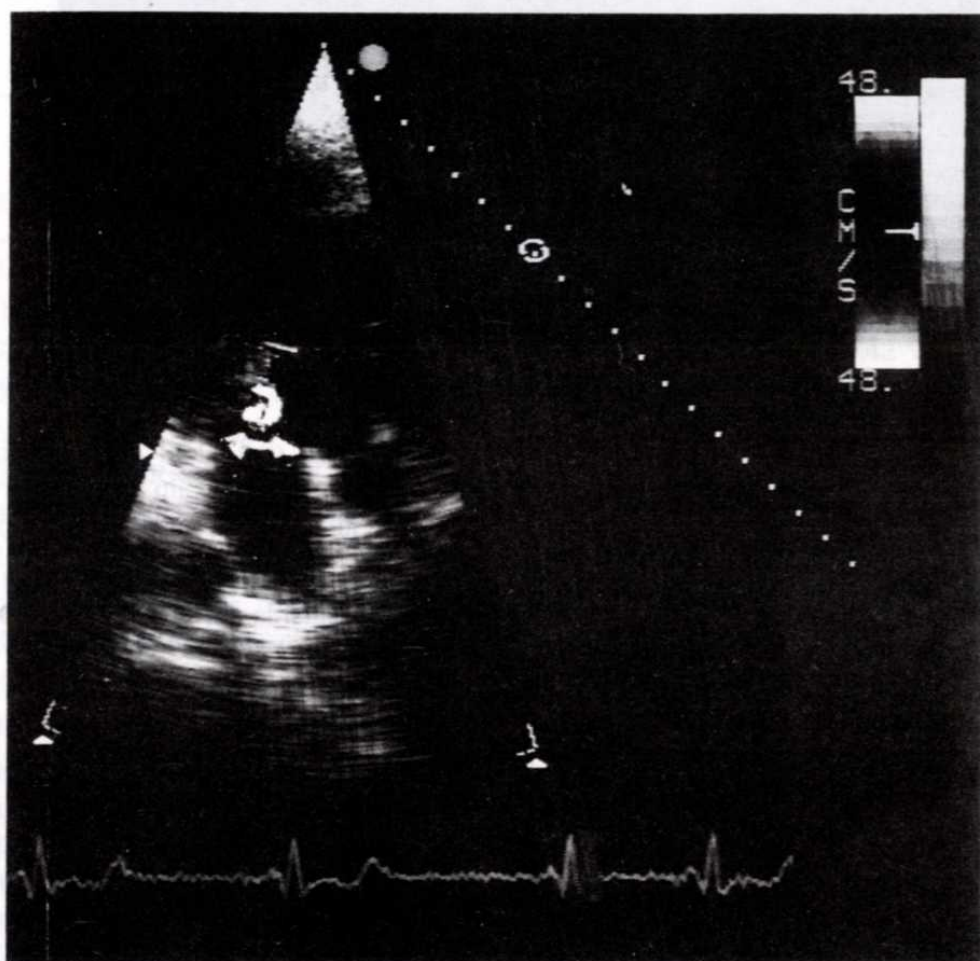
Tüm olgulara sol ventrikülografi ve aort kökü anjiyosu yapılarak, aort yetmezliği ve mitral yetmezliği araştırıldı.

Bulguların değerlendirilmesinde basit linear regresyon analizi kullanıldı.

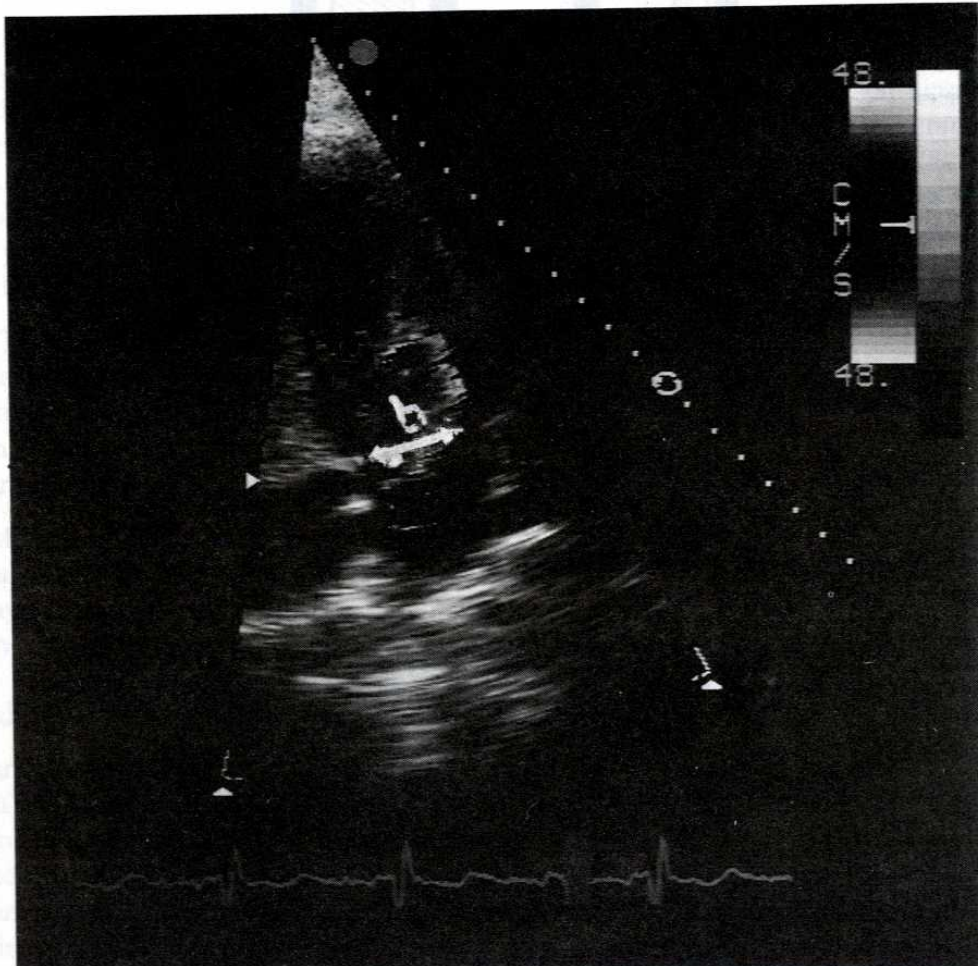


$$MKA = \frac{\pi}{3} (a \times b)$$

Şekil 1. Renkli doppler akım ölçüm tekniği ve mitral kapak alanı hesaplanması



Resim 1. Mitral kapak renkli doppler akım görünümü



Resim 2. Mitral kapak renkli doppler akım görünümü

## BULGULAR

Mitral darlığı 20 hastanın klinik özellikleri ve mitral kapak alanları tablo 1'de gösterilmiştir.

### Renkli doppler akım ölçümleri:

Mitral kapak alanı ölçümü için apikal uzun eksen görünümü elipsin kısa eksenine (a) için kullanıldı. Kısa eksenin uzunluğu ( $0.8-1.4$  cm) ortalama  $1.18 \pm 0.2$  cm idi. Uzun eksen (b) ( $1.2-1.9$  cm), ortalama  $1.46 \pm 0.2$  cm idi. Hesaplanan mitral kapak alanı ( $0.84-2.08$  cm $^2$ ) ortalama  $1.37 \pm 0.34$  cm $^2$  idi. Bu değerler kalp kateterizasyon sonuçları ile, ( $0.80-2.28$  cm $^2$ , ortalama  $1.3 \pm 0.07$  cm $^2$ ) korele idi ( $r=0.923$ ,  $p<0.01$ , şekil 2).

### Two-dimensional ekokardiyografi ve pressure half-time metodu ölçümleri

Two-dimensional ekokardiografi ile ölçülen

kapak alanları ( $0.91-2.20$  cm $^2$ ) ortalama  $1.4 \pm 0.3$  cm $^2$  idi. Bu ölçümler kalp kateterizasyon sonuçları ile korele idi ( $r=0.807$ ,  $p<0.001$ , şekil 3).

Pressure half-time metodu ile normal sinüs ritmindeki olgularda ölçülen kapak alanları ( $1.0-2.0$  cm $^2$ ) ortalama  $1.43 \pm 0.25$  cm $^2$  idi. Bu değerler kateterizasyon bulguları ile daha az korele idi ( $r=0.702$ ,  $p<0.01$ , şekil 4).

Pressure half-time metodu ile kapak alanı ölçülen normal sinüs ritmindeki 14 olgunun 8'inde AY vardı. Nitelikle pressure half-time metodu ile aort yetmezlikli 8 olgunun mitral kapak alanı ortalama  $1.45 \pm 0.19$  cm $^2$  olarak bulundu. Pressure half-time metodu ile ölçülen mitral kapak alanı aort yetmezlikli olgularda diğer kaynlarda da belirtildiği gibi daha fazla bulunmuştur (5-7).

## TARTIŞMA

Two-dimentional ekokardiografi ve pressure half-time metodu mitral kapak alanı tayini en yaygın olarak kullanılan ve invaziv olmayan yöntemlerdir.

2-D ekokardiografi ile mitral kapak alanı tayini mitral kapağı kalın olan bazı olgularda, özellikle yüksek gain kullanılan olgularda zordur ve olduğundan daha küçük ölçülebilir (blooming etki nedeniyle)(3,14). Tersine düşük gain kullanılan olgularda mitral kapak alanı daha geniş olarak ölçülebilmektedir (16). Ayrıca parasternal kısa eksen görünümü mitral kapağı dik olarak görüntülenemeyen olgularda da mitral kapak alanı geniş olarak ölçülebilir. İlave olarak bozulmuş, kalsifik ve kalın kapaklarda uygun kapak açılığının trasesi elde etmek zor olabilir (3,4). Nitekim çalışmamız

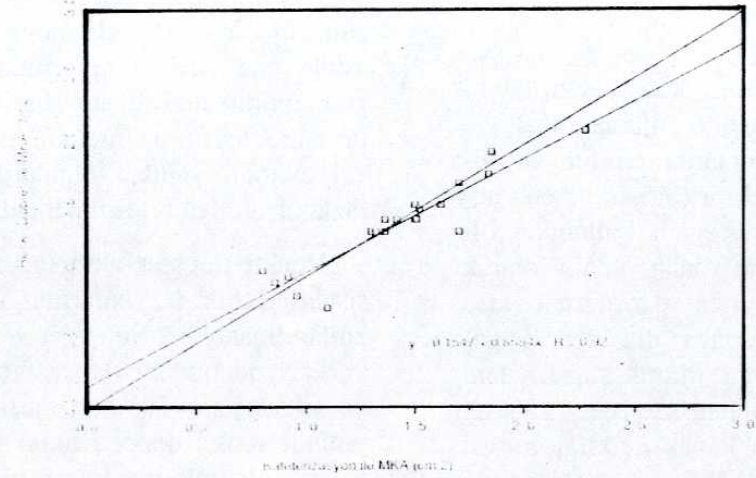
esnasında da bu tür olgularla karşılaşık ve çalışmaya almadık.

Pressure half-time yöntemiyle mitral kapak alanı aort yetmezliği olgularında daha büyük ölçümektedir (7,15). Bu büyülüük sol ventrikül diastol sonu basıncının artması, transmitral basınç gradientinin hızlı düşmesine neden olduğu içindir. Pressure half-time metodu ile kalp yetmezliği ve valvulotomi yapılan olgularda da kapak alanının fazla ölçüldüğü bildirilmektedir(7,17,18,19).

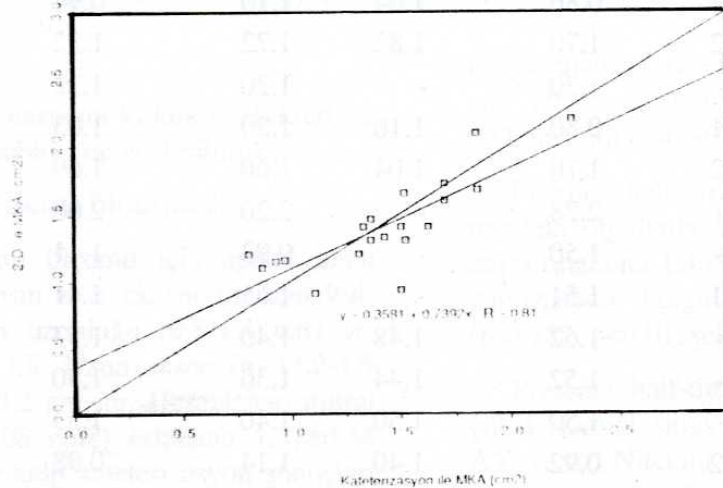
Renkli doppler akım genişliği kardiyovasküler sistem darlık lezyonlarının ağırlığını belirlemeye kullanılmaktadır. Simpson ve arkadaşları (18) aort korktasyonunda koarktasyon çapını belirlemeye Fan ve arkadaşları (19) aort darlığında kapak alanı tayininde renkli doppler akım yöntemini kullandılar. Kateter ölçümleriyle korole olduğunu gösterdiler.

Tablo 1. Olguların özellikleri ve kapak alanları

No	Yaş/Cins	Ritim	AY	MITRAL KAPAK ALANI (cm <sup>2</sup> )					
				Kateter ile	PHT ile	2-D ile	Renkli Akım ile	a·cm	b cm
1	31/K	NSR	-	1.36	1.28	1.30	1.32	1.2	1.4
2	20/K	NSR	1	1.32	1.46	1.40	1.32	1.2	1.4
3	27/K	NSR	2	1.36	1.52	1.46	1.42	1.3	1.4
4	33/K	NSR	2	0.86	1.04	1.10	0.94	1.0	1.2
5	36/K	NSR	2	1.70	1.82	1.72	1.32	1.3	1.3
6	32/K	NSR	-	1.30	-	1.20	1.32	1.2	1.4
7	35/K	AF	1	0.80	1.16	1.20	1.03	1.1	1.2
8	41/E	NSR	2	1.70	1.04	1.60	1.69	1.2	1.8
9	38/K	NSR	-	2.28	-	2.20	2.08	1.4	1.9
10	28/K	AF	-	1.50	-	0.93	1.41	1.2	1.5
11	38/K	AF	1	1.51	-	1.65	1.41	1.2	1.5
12	31/E	AF	-	1.62	1.48	1.40	1.53	1.3	1.5
13	28/K	NSR	-	1.52	1.44	1.30	1.50	1.2	1.6
14	35/E	NSR	-	1.50	1.50	1.40	1.53	1.3	1.5
15	36/E	NSR	2	0.92	1.40	1.14	0.98	0.9	1.4
16	37/E	AF	-	1.85	-	1.68	1.93	1.3	1.9
17	37/E	NSR	-	1.10	1.00	0.91	0.75	0.8	1.2
18	39/K	NSR	-	1.84	2.00	2.01	1.75	1.4	1.6
19	33/K	AF	-	0.96	-	1.16	0.84	0.9	1.2
20	32/K	NSR	-	1.42	1.16	1.32	1.42	1.3	1.4



**Sekil 2. Kateter ve renkli doppler akım ölçümleri ile hesaplanan mitral kapak alanlarının korelasyonu**



**Sekil 3. Kateter ve 2-D ekokardiyografi ile hesaplanan mitral kapak alanlarının korelasyonu**

## KULLANILAN METOD

Renkli doppler akım teknikinin mitral darlığındaki uygulanması, mitral kapak alanının ölçümlerini kolaylaştırmaktadır.

Üç farklı teknik kullanılmıştır: kateterle, pressure half-time (PHT) ile ve ekokardiyografi ile.

Kateterle yapılan ölçümlerde, mitral kapak alanının ölçümü, kateterin mitral kapak üzerindeki konumunu ve kateterin mitral kapak alanının içinden geçen akım hızını belirleyen akım tekniklerini kullanılarak yapılmıştır.

Pressure half-time (PHT) teknikinde, mitral kapak alanının ölçümü, kateterin mitral kapak üzerindeki konumunu ve kateterin mitral kapak alanının içinden geçen akım hızını belirleyen akım tekniklerini kullanılarak yapılmıştır.

Ekokardiyografi teknikinde, mitral kapak alanının ölçümü, kateterin mitral kapak üzerindeki konumunu ve kateterin mitral kapak alanının içinden geçen akım hızını belirleyen akım tekniklerini kullanılarak yapılmıştır.

Bu üç teknikin de mitral kapak alanının ölçümü, kateterin mitral kapak üzerindeki konumunu ve kateterin mitral kapak alanının içinden geçen akım hızını belirleyen akım tekniklerini kullanılarak yapılmıştır.

Bu üç teknikin de mitral kapak alanının ölçümü, kateterin mitral kapak üzerindeki konumunu ve kateterin mitral kapak alanının içinden geçen akım hızını belirleyen akım tekniklerini kullanılarak yapılmıştır.

Bu üç teknikin de mitral kapak alanının ölçümü, kateterin mitral kapak üzerindeki konumunu ve kateterin mitral kapak alanının içinden geçen akım hızını belirleyen akım tekniklerini kullanılarak yapılmıştır.

Bu üç teknikin de mitral kapak alanının ölçümü, kateterin mitral kapak üzerindeki konumunu ve kateterin mitral kapak alanının içinden geçen akım hızını belirleyen akım tekniklerini kullanılarak yapılmıştır.

Bu üç teknikin de mitral kapak alanının ölçümü, kateterin mitral kapak üzerindeki konumunu ve kateterin mitral kapak alanının içinden geçen akım hızını belirleyen akım tekniklerini kullanılarak yapılmıştır.

Bu üç teknikin de mitral kapak alanının ölçümü, kateterin mitral kapak üzerindeki konumunu ve kateterin mitral kapak alanının içinden geçen akım hızını belirleyen akım tekniklerini kullanılarak yapılmıştır.

Bu üç teknikin de mitral kapak alanının ölçümü, kateterin mitral kapak üzerindeki konumunu ve kateterin mitral kapak alanının içinden geçen akım hızını belirleyen akım tekniklerini kullanılarak yapılmıştır.

Bu üç teknikin de mitral kapak alanının ölçümü, kateterin mitral kapak üzerindeki konumunu ve kateterin mitral kapak alanının içinden geçen akım hızını belirleyen akım tekniklerini kullanılarak yapılmıştır.

Bu üç teknikin de mitral kapak alanının ölçümü, kateterin mitral kapak üzerindeki konumunu ve kateterin mitral kapak alanının içinden geçen akım hızını belirleyen akım tekniklerini kullanılarak yapılmıştır.

Bu üç teknikin de mitral kapak alanının ölçümü, kateterin mitral kapak üzerindeki konumunu ve kateterin mitral kapak alanının içinden geçen akım hızını belirleyen akım tekniklerini kullanılarak yapılmıştır.

Bu üç teknikin de mitral kapak alanının ölçümü, kateterin mitral kapak üzerindeki konumunu ve kateterin mitral kapak alanının içinden geçen akım hızını belirleyen akım tekniklerini kullanılarak yapılmıştır.

Bu üç teknikin de mitral kapak alanının ölçümü, kateterin mitral kapak üzerindeki konumunu ve kateterin mitral kapak alanının içinden geçen akım hızını belirleyen akım tekniklerini kullanılarak yapılmıştır.

Bu üç teknikin de mitral kapak alanının ölçümü, kateterin mitral kapak üzerindeki konumunu ve kateterin mitral kapak alanının içinden geçen akım hızını belirleyen akım tekniklerini kullanılarak yapılmıştır.

Bu üç teknikin de mitral kapak alanının ölçümü, kateterin mitral kapak üzerindeki konumunu ve kateterin mitral kapak alanının içinden geçen akım hızını belirleyen akım tekniklerini kullanılarak yapılmıştır.

Bu üç teknikin de mitral kapak alanının ölçümü, kateterin mitral kapak üzerindeki konumunu ve kateterin mitral kapak alanının içinden geçen akım hızını belirleyen akım tekniklerini kullanılarak yapılmıştır.

Bu üç teknikin de mitral kapak alanının ölçümü, kateterin mitral kapak üzerindeki konumunu ve kateterin mitral kapak alanının içinden geçen akım hızını belirleyen akım tekniklerini kullanılarak yapılmıştır.

Bu üç teknikin de mitral kapak alanının ölçümü, kateterin mitral kapak üzerindeki konumunu ve kateterin mitral kapak alanının içinden geçen akım hızını belirleyen akım tekniklerini kullanılarak yapılmıştır.

Bu üç teknikin de mitral kapak alanının ölçümü, kateterin mitral kapak üzerindeki konumunu ve kateterin mitral kapak alanının içinden geçen akım hızını belirleyen akım tekniklerini kullanılarak yapılmıştır.

Bu üç teknikin de mitral kapak alanının ölçümü, kateterin mitral kapak üzerindeki konumunu ve kateterin mitral kapak alanının içinden geçen akım hızını belirleyen akım tekniklerini kullanılarak yapılmıştır.

Bu üç teknikin de mitral kapak alanının ölçümü, kateterin mitral kapak üzerindeki konumunu ve kateterin mitral kapak alanının içinden geçen akım hızını belirleyen akım tekniklerini kullanılarak yapılmıştır.

Bu üç teknikin de mitral kapak alanının ölçümü, kateterin mitral kapak üzerindeki konumunu ve kateterin mitral kapak alanının içinden geçen akım hızını belirleyen akım tekniklerini kullanılarak yapılmıştır.

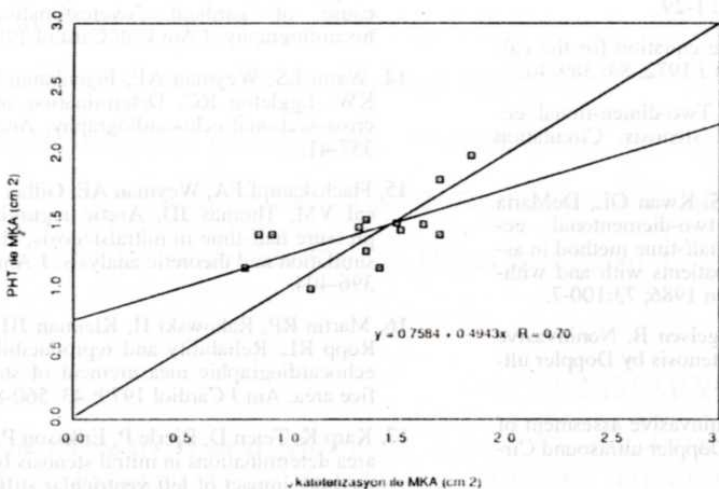
Bu üç teknikin de mitral kapak alanının ölçümü, kateterin mitral kapak üzerindeki konumunu ve kateterin mitral kapak alanının içinden geçen akım hızını belirleyen akım tekniklerini kullanılarak yapılmıştır.

Bu üç teknikin de mitral kapak alanının ölçümü, kateterin mitral kapak üzerindeki konumunu ve kateterin mitral kapak alanının içinden geçen akım hızını belirleyen akım tekniklerini kullanılarak yapılmıştır.

Bu üç teknikin de mitral kapak alanının ölçümü, kateterin mitral kapak üzerindeki konumunu ve kateterin mitral kapak alanının içinden geçen akım hızını belirleyen akım tekniklerini kullanılarak yapılmıştır.

Bu üç teknikin de mitral kapak alanının ölçümü, kateterin mitral kapak üzerindeki konumunu ve kateterin mitral kapak alanının içinden geçen akım hızını belirleyen akım tekniklerini kullanılarak yapılmıştır.

Bu üç teknikin de mitral kapak alanının ölçümü, kateterin mitral kapak üzerindeki konumunu ve kateterin mitral kapak alanının içinden geçen akım hızını belirleyen akım tekniklerini kullanılarak yapılmıştır.



**Şekil 4. Kateter ve pressure half-time metodu ile hesaplanan mitral kapak alanlarının korelasyonu**

Böylece renkli doppler akım tekniğinin mitral darlığının aşırlığını tespit etmek için kullanılabileceğini ortaya koydular (10,21).

Klinik çalışmalarda darlık akımının mitral kapak açıklığı hızında laminar santral core genişliği ölçülecek hesap edilen mitral kapak alanı ile kateterle ölçülen mitral kapak alanının koreleği gösterilmiştir. Mitral darlık jeti apikal pozisyonda görüntülenmelidir. Bu şekilde doppler ışınları (beam) akıma paralel olarak sabitleştirilebilir. Bu sayede ölçümler daha doğru olarak saptanır.

Renkli doppler akım tekniği ile two-dimensional ekokardiyografi ile teknik nedenlerle ölçülemeyen

mitral alanları ölçülebilir. İlaveten aort yetmezliği olan olgularda ve sol ventrikül fonksiyon bozukluğu olan olgularda da mitral kapak alanı renkli doppler akım tekniği ile doğru olarak ölçülebilir (7,8). Anatomik veya hemodinamik nedenlerle two-dimensional ekokardiyografi ve pressure half-time yöntemiyle mitral kapak alanı saptanamayan olgularda renkli doppler akım tekniği kullanılabilir.

Mitral darlığı kapak açıklığı eliptik olmayan ileri deformel kapplarda uygulamanın doğru olmayacağı, ayrıca yöntemin yaygın uygulanabilmesi için daha geniş klinik araştırmaların yapılması gerektiği kanısındayız.

## KAYNAKLAR

1. Gorlin R, Gorlin SG. Hydraulic formula for calculation of the area of stenotic mitral valve, other cardiac valves, and central circulator shunts. Am Heart J 1951; 41: 1-29.
2. Cohen MV, Gorlin R. Modified orifice equation for the calculation of mitral valve area. Am Heart J 1972; 84: 389-40.
3. Nichol PM, Gilbert BW, Ksslo JA. Two-dimensional echocardiographic assessment of mitral stenosis. Circulation 1977; 55: 210-8.
4. Smith MD, Hanshane R, Handshane S, Kwan OL, DeMaria AN. Comparative accuracy of two-dimensional echocardiography and Doppler pressure half-time method in assessing severity of mitral stenosis in patients with and without prior commissurotomy. Circulation 1986; 73:100-7.
5. Hatle L, Brubbak A, Tromsdal A, Angelsen B. Noninvasive assessment of pressure drop in mitral stenosis by Doppler ultrasound. Circulation 1978; 40: 131-40.
6. Hatle L, Angelsen B, Tromsdal A. Noninvasive assessment of atrioventricular pressure half-time by Doppler ultrasound. Circulation 1979; 60: 1096-104.
7. Nakatani S, Masuyama T, Kodanika K, Kitapata-ka A, Fujii K, Kamada T. Value and limitations of Doppler echocardiography in the quantification of stenotic mitral valve area: Comparison of the pressure-half time and the continuity equation methods. Circulation 1988; 77: 78-85.
8. Gonzalez MA, Child JS, Krivokapich J. Comparison of two-dimensional and Doppler echocardiography and intracardiac hemodynamics for identification of mitral stenosis. Am J Coll Cardiol 1987; 60: 327-32.
9. Fan PH, Kapur KL, Nanda NC. Color-guided Doppler echocardiographic assessment of aortic valve stenosis. J Am Coll Cardiol 1988; 12: 441-9.
10. Manterrose VH, Chen C, Rodriguez L, Palacios IF, Block PC, Thomas JD. Estimation of mitral valve area by color Doppler flow mapping (abstr). Circulation 1989; 80 (sup II): II-167.
11. Pollick C, Sullivatt N, Cuje S, Wilansky S. Doppler color-flow imaging assessment of shunt size in atrial septal defect. Circulation 1988; 78: 522-8.
12. Davies JT. Free turbulent jets. In: Davies JT, ed. Turbulence phenomena: An introduction to the eddy transfer of momentum, mass, and heat particularlary at interfaces. New York: Academic, 1972: 69-72.
13. Levine RA, Jimoh A, Cape EG McMillan S, Yoganathan AP, Weyman AE. Pressure recovery distal to a stenosis: potential cause of gradient "overestimation" by Doppler echocardiography. J Am Coll Cardiol 1989; 13: 706-15.
14. Wann LS, Weyman AE, Figenbaum H, Dillon JC, Johnston KW, Eggleton RC. Determination of mitral valve area by cross-sectional echocardiography. Ann Intern Med 1978; 88: 337-41.
15. Flachskampf FA, Weyman AE, Gillan L, Chun-Ming L, Abascal VM, Thomas JD. Aortic regurgitation shortens Doppler pressure half-time in mitral stenosis: clinical evidence, in vitro simulation and theoretic analysis. J Am Coll Cardiol 1990; 16: 396-404.
16. Martin RP, Rakowski H, Kleiman JH, Beaver W, London E, Ropp RL. Reliability and reproducibility of two-dimensional echocardiographic measurement of stenotic mitral valve orifice area. Am J Cardiol 1979; 43: 560-8.
17. Karp K, Teien D, Bjerle P, Eriksson P. Reassessment of valve area determinations in mitral stenosis by the pressure half-time method: impact of left ventricular stiffness and peak diastolic pressure difference. J Am Coll Cardiol 1989; 13: 594-9.
18. Thomas JD, Wilkins GT, Choong CYP. Inaccuracy of mitral pressure half-time immediately after percutaneous mitral valvotomy: dependence on transmural gradient and left atrial and ventricular compliance. Circulation 1988; 78: 980-93.
19. Chen C, Wang Y, Guo B, Lin Y. Reliability of the Doppler pressure half-time method for assessing effects of percutaneous mitral balloon valvoplasty. J Am Coll Cardiol 1987; 13: 1309-13.
20. Simpson IA, Sahn DJ, Valdes-Cruz LM, Chung KJ, Sherman FS, Swensson RE. Color Doppler flow mapping in patients with coarctation of the aorta: new observations and improved evaluation with color flow diaketer and proximal acceleration as predictors of severity. Circulation 1988; 77: 736-44.
21. Kawahara T, Tamai J, Mitani M, Seo H, Yamagishi M, Miyatake K. A new method for determination of mitral valve area in mitral stenosis by color Doppler flow imagin (abstr). Circulation 1989; 80 (suppl II): II-669.